

# **საქართველოს ტექნიკური უნივერსიტეტი**

**ხელნაწერის უფლებით**

**მარინე დგებუაძე**

**α-ამინომჟავების შემცველი ბიოდეგრადირებადი პოლიმერების  
თბოფიზიკური თვისებების კვლევა DSC მეთოდით**

**პოლიმერული მასალების ტექნოლოგია**

**დოქტორის აკადემიური ხარისხის მოსაპოვებლად  
წარდგენილი დისერტაციის**

**ა ვ ტ ო რ ე ფ ე რ ა ტ ი**

**თბილისი**

**2012 წელი**

სამუშაო შესრულებულია საქართველოს ტექნიკური უნივერსიტეტის  
ქიმიური ტექნოლოგიის და მეტალურგიის ფაკულტეტის  
ქიმიური და ბიოლოგიური ტექნოლოგიის დეპარტამენტის  
პროცესებისა და აპარატების და ზოგადი ქიმიური ტექნოლოგიის  
მიმართულებაზე

სამეცნიერო ხელმძღვანელი: სრ. პროფ. რამაზ ქაცარავა  
რეცენზები: -----  
-----

დაცვა შედგება ----- წლის ”-----“ -----, ----- საათზე  
საქართველოს ტექნიკური უნივერსიტეტის -----  
----- ფაკულტეტის სადისერტაციო საბჭოს  
სხდომაზე, კორპუსი -----, აუდიტორია -----  
მისამართი: 0175, თბილისი, კოსტავას 77.

დისერტაციის გაცნობა შეიძლება სტუ-ს  
ბიბლიოთეკაში, ხოლო ავტორეფერატის - ფაკულტეტის ვებ-გვერდზე

სადისერტაციო საბჭოს სწავლული მდივანი -----

## naSromis zogadi daxasi aTeba

**Temis aqtual oba.** სამედიცინო დანიშნულების პოლიმერული მასალების კონსტრუირებისა და მათი გამოყენების სფეროში დღეისათვის მიღწეული წარმატებების უდიდესი წილი გადაუჭარბებლად შეიძლება მივაკუთვნოთ მაღალი ბიოშეთავსებისა და ბიოდეგრადაციის უნარის მქონე მასალებს. თანამედროვე პოლიმერულ ქიმიაში მოწინავე პოზიციები უკავიათ ბიოდეგრადირებად პოლიმერებს, რაც გამოწვეულია ამ მასალების მაღალი ტექნოლოგიური და კომერციული პოტენციალით. ასეთი მასალები ასევე პერსპექტულია სოფლის მეურნეობასა და ბუნების დაცვაში, რამეთუ დეგრადირდებიან ფიზიოლოგიური პირობების ან ნიადაგის ზემოქმედებისას და ქრებიან “უკალოდ”.

საქართველოს ტექნიკური უნივერსიტეტის სამედიცინო პოლიმერებისა და ბიომასალების (ამჟამად სამედიცინო ბიოტექნოლოგიისა და ბიოინჟინერიის) კველვით ცენტრში ა-ამინომჴავების და სხვა არატოქსიკური საშენი ბლოკების, როგორებიცაა ალიფატური დიოლები და დიკარბომჴავები, საფუძველზე მიღებულია სხვადასხვა კლასის ბიოდეგრადირებადი და ბიოშეთავსებადი პოლიმერები - პოლიესტერამიდები, პოლიესტერულეთანები და პოლიესტერშარდოვანები, ასევე უჯერი და ეპოქსი-ჯგუფების შემცველი პოლიესტერამიდები.

აღნიშნული ორიგინალური პოლიმერების ნაწილი დანერგვის პროცესშია როგორც საქართველოში (ხელოვნური კანი “ფაგობიოდერმი”, სამედიცინო წებო “კოლადერმი”), ასევე აშშ-ში (ვასკულარული სტენტის საფარის და წამლის მიმწოდებელი სისტემების სახით (კომპანიები MediVas, LLC, SurModics, LLC, Svelte Medical Systems და DSM ).

ასეთი მასალები - ერთგვაროვანი, ორგანულ გამსსნელებში კარგად ხსნადი, დაბალი გამინების ტემპერატურით და ადვილად გადასამუშავებელი, მაღალი მოლეკულური მასების – ფირებისა ბოჭკოების წარმოქმნის, მაღალი სიჩქარით ბიოდეგრადაციისა და კარგი ბიოშეთავსების უნარით პერსპექტულია სხვადასხვა ბიოსამედიცინო

მიზნებისათვის: ქირურგიული და ფარმაცევტული მასალების კონსტრუ-ირებისათვის, ჭრილობისა და სისხლძარღვთა სტენტის საფარი მასალებისათვის, სისხლძარღვთა პროთეზებისათვის, ნერვული ქსოვილის ზრდის მიმმართველი მილაკებისათვის, მყესებისათვის, ორთოპედიულ და ქსოვილის აღმდგენ მასალებად, წამლის უწყვეტ/კონტროლირებადი გამოყოფის სისტემებისათვის და სხვ.

**samuSaos mi zans** წარმოადგენდა სხვადასხვა შედგენილობის პოლიესტერშარდოვანების, პოლიესტერამიდების, ოლიგოესტერამიდების, ჰეტეროციკლური ტიპის პომო და თანაპოლიმერების თერმული თვისებების შესწავლა განსხვავებული ტემპერატურული წრთობის პირობებში და მათი თერმოდინამიკური პარამეტრების დადგენა, კერძოდ:

1. ამინომჟავა L-ლეიცინისა და L-ფენილალანინის საფუძველზე მიღებული პოლიესტერშარდოვანების თბოფიზიკური კვლევა DSC მეთოდით, მათი სტრუქტურული (ამორფული, კრისტალური) თვისებების დადგენის მიზნით. ტემპერატურული ინტერვალის და წრთობის (სწრაფი, ნელი გაცივება) პირობების შემუშავება.

2. L-ფენილალანინის, ადიპინის მჟავას, 1,4-ბუტანდიოლის, სებაცინის მჟავას და 1,6-ჰექსანდიოლის საფუძველზე სინთეზირებული პოლიესტერამიდების, (4F4 და 8F6) თერმული თვისებების დადგენა.

3. შეგვესწავლა დამლექავის ბუნების გავლენა L-ფენილალანინის, ადიპინის მჟავას, 1,4-ბუტანდიოლის, სებაცინის მჟავას და 1,6-ჰექსანდიოლის საფუძველზე სინთეზირებული პოლიესტერამიდების, (4F4 და 8F6) თბოფიზიკურ თვისებებზე.

4. შეგვესწავლა L-ფენილალანინის, ადიპინის მჟავას, 1,4-ბუტანდიოლის, სებაცინის მჟავას და 1,6-ჰექსანდიოლის საფუძველზე სინთეზირებული პოლიესტერამიდების, (4F4 და 8F6) DMF – ის ხსნარების თერმული თავისებები. დაგვედგინა პოლიმერული ხსნარების თერმული თვისებების ნიმუშის წინაისტორიაზე დამოკიდებულება.

5. დაგვედგინა ამინომჟავა L-ლეიცინის შემცველი ოლიგოესტერამიდების კრისტალური თვისებები. განგვესაზღვრა მათი

სტუქტურული ცვლილებების დამოკიდებულება ნიმუშების შენახვის პირობებსა და დროზე.

6. ჰეტეროციკლური მონომერების საფუძველზე მიღებულ პოლი(ამიდ ესტერამიდ)ების თერმული კვლევა. მათი თერმოდინამიკური პარამეტრების განსაზღვრა.

#### **mecnierul i siaxl e.**

პირველად არის შესწავლილი ერთი და იმავე ნიმუშის ქცევა განსხვავებულ პირობებში (ტემპერატურული წრთობა, გაცივება – გაცხელება სხვადასხვა რეჟიმში). ნიმუშის წინაისტორიაზე (განსხვავებული ბუნების დამლექავის პირობებში) დამოკიდებულებით დადგენილია მისი თერმული თვისებები.

მეტად საინტერესო და ახალი შედეგი მიღებულია ამინომჟავა L-ლეიცინის და 1,6-ჰექსანდოლის საფუძველზე მიღებულ პოლიესტერშარდოვანას (1L6) შესწავლის დროს. პოლიმერმა გამოამჟღავნა “ჭუკიანი პოლიმერის” თვისებები. პოლიშარდოვანა 1L6 სწრაფი გაცივების და შემდგომი გაცხელების პირობებში განიცდიდა რეკრისტალიზაციის პროცესს და იმურებდა თითქმის უცვლელად თერმოგრამულ მრუდს. მსგავს თვისებას არ ამჟღავნებდა არცერთი სხვა შესწავლილი პოლიმერი. დანარჩენი ნიმუშების შემთხვევაში პირველადი თერმული დამუშავების შემდეგ ვიდებდით თერმოგრამებს, რომლებიც პოლიმერების ამორფულ მდგომარეობაზე მიგვითოთებდნენ.

ბუნებრივ პოლიმერებისგან გასხვავებით (ცილები ან დნბ-ი), აქამდე არ ყოფილა ჩატარებული თერმოდინამიკური კვლევა სინთეტიკურ პოლიმერების ხსნარებში.

ამინომჟავა L-ფენილალანინის საფუძველზე მიღებული პოლიესტერამიდების დიმეთილფორმამიდში ხსნარის შესწავლის შედეგად მივიღეთ, რომ ეს პოლიმერები ბუნებრივი ცილების მსგავსად ხსნარში ინარჩუნებენ სტრუქტურას.

სისტემატური კვლევების შედეგად განსაზღვრულია ყველა ჩამოთვილი პოლიმერის თერმოდინამიკური პარამეტრი.

**avtoris piradi wli illi.** სადისერტაციო ნაშრომის ყველა ექსპერიმენტი შესრულებულია პირადად ავტორის მიერ. ექსპერიმენტის დაგეგმვა და კვლევის შედეგების ინტერპრეტაცია ჩატარებულია

უშუალოდ ავტორის მონაწილეობით. რენტგენოსტრუქტურული ანალიზი ჩატარებულია რუსეთის მეცნიერებათა აკადემიის ა. ნესმეანოვის სახ. ორგანოელემენტების ნაერთთა ინსტიტუტის მაღალმოლექულური ნაერთების ლაბორატორიაში (INEOS RAS).

**publ ikaciebi.** დისერტაციის თემაზე გამოქვეყნებულია 4 სტატია და 5 თეზისი.

**samuSaos aprobabacia.** დისერტაციის ძირითადი შედეგები წარდგენილია სიღნადი, საქართველო (*Symposium on Organic Chemistry-2009*); ქუთაისი, საქართველო (*International Scientific-Practical Conference, 2009*) თბილისი, საქართველო (*Second International Conference on Organic Chemistry - 2011*); ნეპალის საეთაშორისო კონფერენციაზე (*Polychar19 - 2011*)

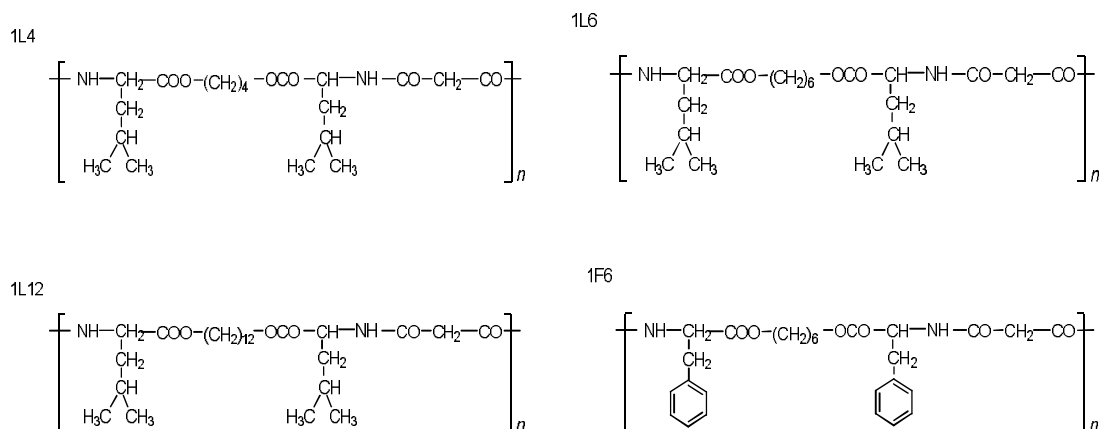
**naSromis struktura.** ნაშრომი მოიცავს 124 ნაბეჭდ გვერდს, შესავალს, ლიტერატურის მიმოხილვას, შესრულებული სამუშაოს განსჯას, ექსპერიმენტულ ნაწილს, დასკვნებს, ციტირებული ლიტერატურის ნუსხას 147 დასახელებას, 45 ნახატს, 11 ცხრილს.

ნაშრომის ლიტერატურის მიმოხილვაში შეკრებილია და გაანალიზებულია ჩვენს კვლევამდე არსებული სამუშაოები, რომლებიც ეხება პოლიმერების სინთეზსა და თბოფიზიკური თვისებების კვლევას, კალორიმეტრული მეთოდის გამოყენებით ნიმუშების განსხვავებული თერმული დამუშავების მაგალითებს.

# naSromis Ziri Tadi Sinaarsi

## 1. pol iester Sardovanebis Termul i Tvisebebi

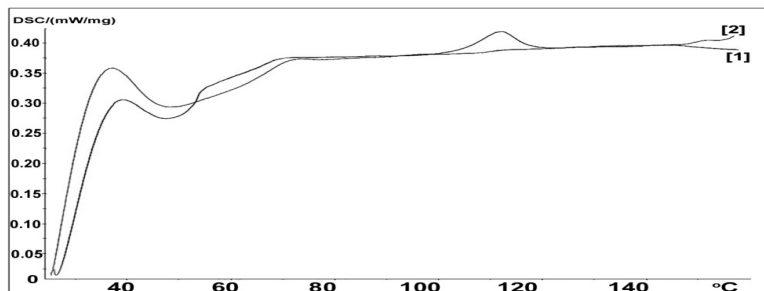
დასახული მიზნის მისაღწევად შეგარჩიეთ ბუნებრივი ამინომჟავა L-ლეიცინის და სამი α,ω-დიოლის - 1,4-ბუტანდიოლის, 1,6-ჰექსანდიოლის და 1,12-დოდეკანდიოლის საფუძველზე მიღებული პოლიესტერშარდოვანები (შესაბამისად აღნიშნულია, როგორც 1L4, 1L6 და 1L12); ასევე ამინომჟავა L-ფენილალანინისა და 1,6-ჰექსანდიოლის საფუძველზე მიღებული პოლიესტერშარდოვანა (შესაბამისად აღნიშნულია 1F6); პირველი რიცხვი შემოკლებულ ფორმულაში აღნიშნავს ნახშირმჟავას ნაშთს CO-ს, L და F შესაბამება ამინომჟავა ლეიცინის და ფენილალანინის საყოველთაოდ მიღებულ ერთასოიან აღნიშვნებს, მეორე ციფრი კი შესაბამება მეთილენის ჯგუფების რიცხვს დიოლის ნაშთში). ქვემოთ სქემაზე მოყვანილია შესაბამისი პოლიმერების ქიმიური ფორმულები.



თერმოდინამიკურ კვლევას ვანხორციელებდით კომპანია NETZSCH-ს “DSC 200 PC PHOX”-ის კალორიმეტრის მეშვეობით. თერმოგრამებს ვიღებდით 20 – 200 °C ინტერვალში, გაცხელების სიჩქარე 10°C/წთ. ექსპერიმენტის ჩატარების შემდეგ ვღებულობდით პირველ თერმოგრამას (პირველი სკანირება). მეორე თერმოგრამის მისაღებად ნიმუშს სწრაფად (შებერვით) ვაცივებდით 20°C-ზდე კალორიმეტრიდან ამოუღებლად,

შემდეგ კი გაცხელებდით წინა ექსპერიმენტის პირობებში (მეორე სკანირება).

პოლიშარდოვანების თერმოგრამები მოყვანილია ნახ.1-4. მიღებული შედეგებიდან ჩანს, რომ პოლიშარდოვანა 1L4-ი (ნახ. 1, 1-ლი სკანირება) არის სემიკრისტალური, გამინების ტემპერატურით  $56.7^{\circ}\text{C}$  და კრისტალური ფაზის ლდობით  $112^{\circ}\text{C}$ -ზე (ძალზე დაბალი ლდობის ენთალპიით  $2 \text{ J/g}$ , რაც კრისტალური ფაზის დაბალ შემცველობაზე მეტყველებს). განმეორებით გაცხელებისას (ნახ.1, მე-2 სკანირება) ამ პოლიმერის ხელახალი კრისტალიზაცია (და შესაბამისი ეგზოთერმა) აღარ ფიქსირდება, რაც ასევე მიუთითებს ამ პოლიმერის დაბალ სწრაფვაზე კრისტალიზაციისადმი, მიუხედავად მოლოდინისა, რაც გამომდინარეობს დიოლის შედარებით მოკლე ჯაჭვიდან (რასაც უნდა უზრუნველყო ინტერმოლეკულური წყალბადური ბმების უფრო ხშირი ქსელი, ანუ ძლიერი ურთიერთქმედება მაკრომოლეკულებს შორის).



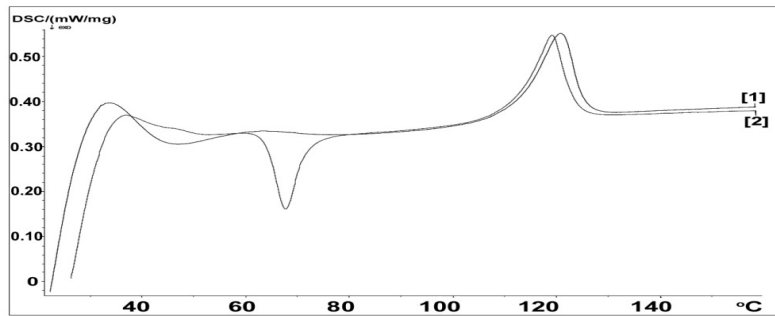
ნახ. 1.

**1L4-ის თერმოგრამა:** 1-გაცხელების მრუდი.

2- გაცხელების მრუდი, გაცივების შემდეგ

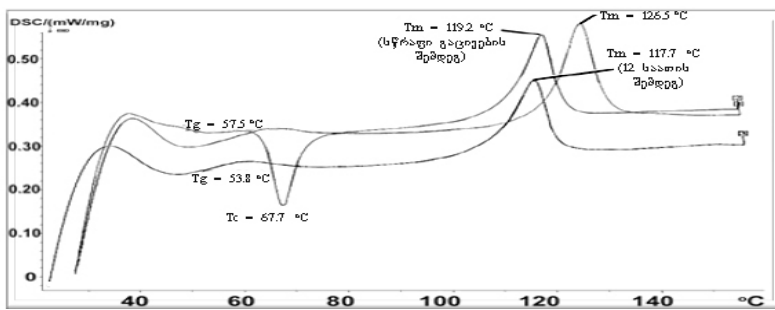
პოლიშარდოვანა 1L6 ასევე არის სემიკრისტალური (ნახ. 2, 1-ლი სკანირება), გამინების ტემპერატურით  $58.8^{\circ}\text{C}$  და კრისტალური ფაზის ლდობით  $125^{\circ}\text{C}$ -ზე (საკმაოდ მაღალი ლდობის ენთალპიით  $11 \text{ J/g}$ , რაც კრისტალური ფაზის მაღალ შემცველობაზე მეტყველებს). განმეორებით გაცხელებისას (ნახ.2, მე-2 სკანირება) ეს პოლიმერი განიცდის რეკრისტალიზაციას (დაიმზირება ეგზოთერმა  $68^{\circ}\text{C}$  უბანში, კრისტალიზაციის ენთალპია შეადგენს  $6 \text{ J/g}$ ) და განმეორებით ლდვება  $120^{\circ}\text{C}$  უბანში. მსგავსი ექსპერიმენტი ჩატარდა რამდენიმე ჯერ და ნახ.3-ზე ნაჩვენებია, რომ პოლიშარდოვანა 1L6 სწრაფი გაცივების და შემდგომი გაცხელების პირობებში განიცდის რეკრისტალიზაციის

პროცესს, ხოლო 12 საათიანი ნელი გაცივების პირობებში არ აისახება კრისტალიზაციის მრუდი, მაგრამ მიმდინარეობს ლიფტის პროცესი. ყოველივე ეს გვაფიქრებინებს, რომ მოცემული პოლიშარდოვანა “ჭკვიანი პოლიმერების” კლასს მიეკუთვნება.



**nax. 2.**

1L6-ის თერმოგრამა: 1-გაცხელების მრუდი, 2- გაცხელების მრუდი, გაცივის შემდეგ



**nax.3.**

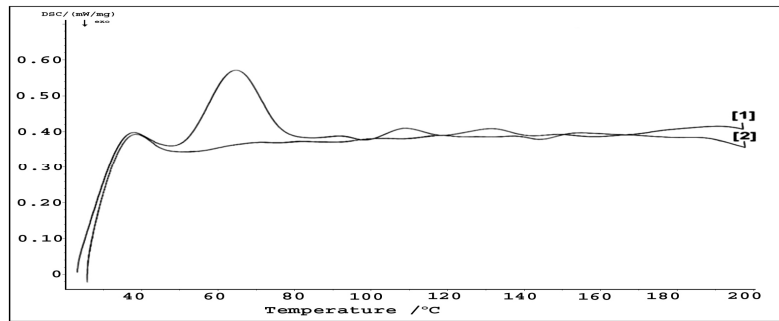
1L6-ის თერმოგრამა: 1-გაცხელების მრუდი.

2-გაცხელების მრუდი, სწრაფი გაცივების შემდეგ.

3- გაცხელების მრუდი 12 საათიანი დაყოვნების შემდგომ.

პოლიშარდოვანა 1L12-ის შესაბამისი თერმოგრამა(ნახ.4, 1-ლი სკანირება) გვიჩვენებს, რომ ზემოთ განხილული ორი ანალოგისაგან განსხვავებით პოლიმერი ლიფტი დაბალ ტემპერატურაზე ( $63^{\circ}\text{C}$ ), რაც მოსალოდნელი იყო დიოლის გრძელი ჯაჭვის გათვალისწინებით. ამ პოლიესტერშარდოვანას თერმოგრამაზე არ ფიქსირდება გამინების ტემპერატურა, რაც შეიძლება ავხსნათ მისი სიახლოვით ლიფტის ტემპერატურასთან. განმეორებით გაცხელებისას (ნახ.4, მე-2 სკანირება) ამ პოლიმერის რეკრისტალიზაცია არ შეიმჩნევა, მიუხედავად იმისა, რომ შესწავლილი პოლიესტერშარდოვანებიდან მისი ლიფტის ენთაღებია შედარებით მაღალია ( $19 \text{ g/g}$ ). არ არის გამორიცხული, რომ ამ შემთხვევაში ხდება კრისტალური ფაზის და ამორფული დომენის

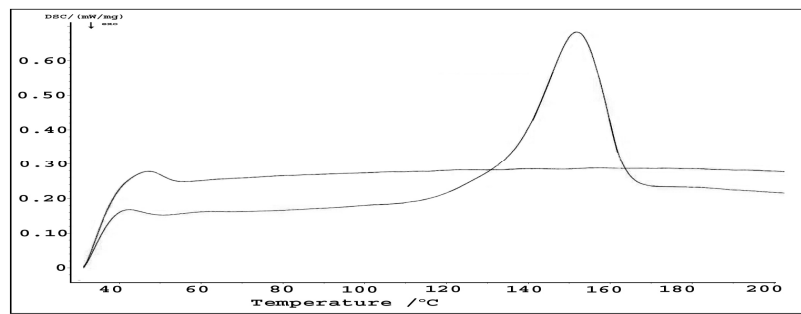
(წარმოქმნილის გრძელი დოდეპამეთილენების ჯაჭვების მიერ) ლლობების ზედდება.



**ნახ.4.**

- 1 L12-ის თერმოგრამა:** 1- გაცხელების მრუდი.  
2- გაცხელების მრუდი, გაცივების შემდეგ.

პოლიშარდოვანა 1F6-ის შესაბამისი თერმოგრამა (ნახ.5, 1-ლი სკანირება) გვიჩვენებს, რომ პოლიმერი ლლობება წინა ნიმუშებისგან განსხვავებით უფრო მაღალ ტემპერატურაზე (153.1°C), რაც მოსალოდნელია ამინომჟავა ფენილალანინის შემცველობის გათვალისწინებით. ამ პოლიმერის თერმოგრამაზე არ ფიქსირდება გამინების ტემპერატურა. განმეორებით გაცხელებისას (ნახ.5, მე-2 სკანირება) რეკრისტალიზაცია არ შეიმჩნევა, მიუხედავად იმისა, რომ წინა პოლიმერებთან შედარებით მისი ლლობის ენთალპია ყველაზე მაღალია (59 კ/გ).



**ნახ.5.**

- 1F6-ის თერმოგრამა:** 1- გაცხელების მრუდი.  
2- გაცხელების მრუდი, გაცივების შემდეგ.

შესწავლილი პოლიმერების თერმული მახასიათებლები თავმოყრილია ქვემოთ მოყვანილ ცხრილში (ცხრილი 1).

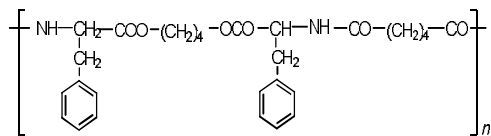
## ცხრილი 1. პოლიშარდოვანი 1L4, 1L6, 1L12, 1F6 მახასიათებლები

პოლი მერი	გამინებ ის ტემპ-რა, <b>Tg, °C</b>	ლდობის ტემპ-რა, <b>Tm, °C</b>	კრისტალი ზაციის ტემპ-რა, <b>Tc, °C</b>	ლდობის ენთალპია <b>ΔHm, J /g</b>	კრისტალი ზაციის ენთალპია <b>ΔHc, J /g</b>	ლდობის ენტროპია, <b>ΔS, J /g°C</b>
<b>1L4</b>	56.7	112	-	2	-	0.02
<b>1L6</b>	58.8	125	68	11	6	0.09
<b>1L12</b>	-	63	-	19	-	0.3
<b>1F6</b>	-	153.1	-	59	-	0.39

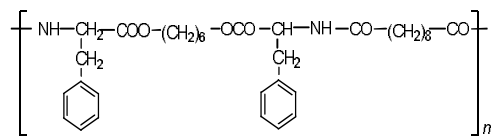
## 2. pol iesteramidebis Termuli Tvissebebi

პოლიევის ობიექტებად შევარჩიეთ L-ფენილალანინის და ადიპინის მჟავას და 1,4-ბუტანდიოლის და სებაცინის მჟავას და 1,6-ჰექსანდიოლის საფუძველზე სინთეზირებული ორი პოლიესტერამიდი, რომლებიც შესაბამისად აღნიშნულია როგორც 4F4 და 8F6 (პირველი ციფრი შეესაბამება მეთილენის ჯგუფების რიცხვს დიკარბომჟავას ნაშთში, F არის ამინომჟავა ფენილალანინის მიღებული ერთასოიანი შემოკლება, მეორე ციფრი კი შეესაბამება მეთილენის ჯგუფების რიცხვს დიოლის ნაშთში). ქვემოთ სქემაზე მოცემულია შესაბამისი პოლიმერების ქიმიური ფორმულები.

4F4



8F6

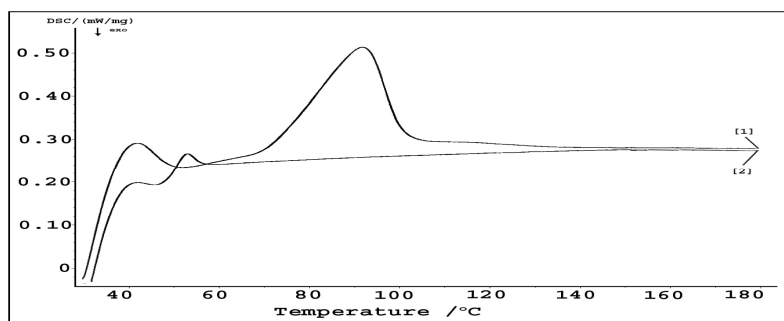


თერმოდინამიკურ პოლიევას ვანხორციელებდით კომპანია NETZSCH-ს “DSC 200 PC PHOX”-ის კალორიმეტრის მეშვეობით. თერმოგრამებს ვიღებდით ტემპერატურულ ინტერვალში 30-180°C, გაცხელების სიჩქარე 10°C/წთ. პირველი თერმოგრამის (პირველი სკანირება) ჩაწერის შემდეგ ნიმუშს სწრაფად (შებერვით) ვაცივებდით 30°C-მდე კალორიმეტრიდან

ამოუდებლად, გაცხელებდით იგივე რეჟიმში და ვიწერდით მეორე თერმოგრამას (მეორე სკანირება).

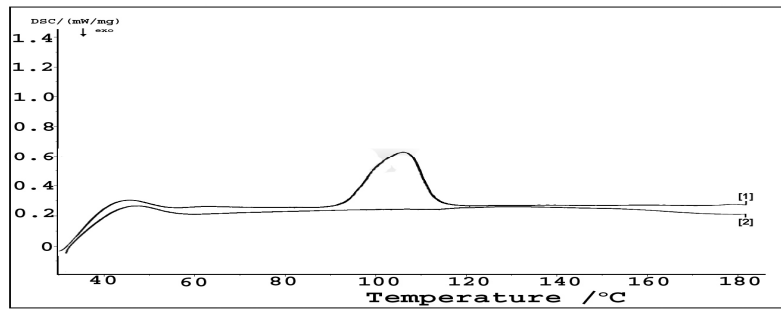
პოლიესტერამიდების თერმოგრამები მოყვანილია ნახ.6,7. მიღებული შედეგებიდან ჩანს, რომ პოლიესტერამიდი 4F4-ი (ნახ.6, 1-ლი სკანირება) არის სემიკრისტალური, გამინების ტემპერატურით  $52^{\circ}\text{C}$ , კრისტალური ფაზის ლდობით  $98.1^{\circ}\text{C}$ -ზე და ლდობის ენთალპიით  $26.6 \text{ J/g}$ , რაც კრისტალური ფაზის უფრო მაღალ შემცველობაზე მეტყველებს პოლიშარდოვანებთან შედარებით. განმეორებით გაცხელებისას (ნახ.6, მე-2 სკანირება) ამ პოლიმერის ხელახალი კრისტალიზაცია (და შესაბამისი ეგზოთერმა) ადარ ფიქსირდება, რაც ასევე მიუთითებს ამ პოლიმერის დაბალ სწრაფვაზე კრისტალიზაციისადმი.

ხოლო რაც შეეხება პოლიესტერამიდ 8F6 –ს (ნახ.7), ის აგრეთვე სემიკრისტალურობით ხასიათდება, 4F4 –თან შედარებით ტერმოგრამაზე არ ფიქსირდება გამინების ტემპერატურა, მისი კრისტალური დომენის ლდობა მიმდინარეობს ტემპერატურაზე  $104.3^{\circ}\text{C}$ , ლდობის ენთალპია იმავე რიგირსაა რაც 4F4-ის შემთხვევაში და უდრის  $27.5 \text{ J/g}$ . თერმოგრამაზე კარგად ჩანს (ნახ.7), რომ მეორე სკანირებისას არ მიმდინარეობს პოლიმერის რეკრისტალიზაცია და თერმოგრამის ფორმა ამორფული პოლიმერის მდგომარეობას შეესაბამება.



**nax.6.**

**4F4-ის თერმოგრამა:** 1– გაცხელების მრუდი.  
2–გაცხელების მრუდი, გაცივების შემდეგ.



**max.7.**

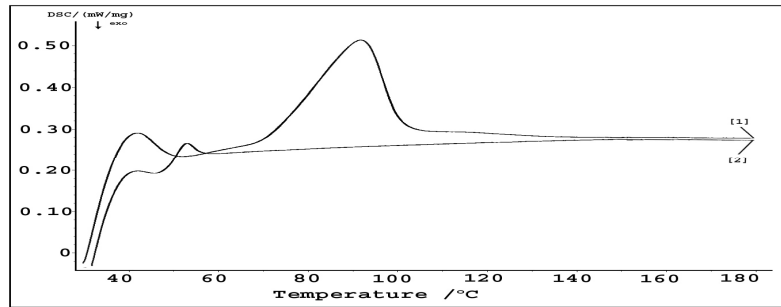
8F6-ის თერმოგრამები: 1- პირველი გაცხელება.  
2- მეორე გაცხელება, გაცივების შემდეგ.

## 2.1. daml eqavisi bunebis gavl ena LL-fenil al aninis safuzvel ze miRebul i pol iesteramidebis Tbofizikur Twisebebze

სინთეზირებულ პოლიმერებს ჩვენს მიერ დაგეგმილი კვლევებისათვის ვამჟმავებდით შემდეგნაირად: ზემოდაღწერილ პირობებში მიღებული 4F4-ის ორი ნიმუში (0.5გ თითოეული) გავხსენით 50-50 მლ ქლოროფორმში მაგნიტური სარეველით მორევის პირობებში ოთახის ტემპერატურაზე. ხსნარები გავფილტრეთ და პოლიმერი გამოვლენ - ერთი 100მლ ეთილაცეტატში (აღნიშნულია: 4F4<sub>II</sub>), მეორე – 100მლ აცეტონში (აღნიშნულია: 4F4<sub>I</sub>). ანალოგიურად დავამუშავეთ მეორე პოლიესტერამიდი 8F6, რომელიც შესაბამისად აღნიშნულია, როგორც 8F6<sub>II</sub> (გამოლექილი აცეტონში) და 8F6<sub>III</sub> (გამოლექილი ეთილაცეტატში). გამოლექილ პოლიმერებს ვფილტრავდით, ვაშრობდით ვაკუუმში 40°C-ზე და ვზომავდით დაყვანილ სიბლანტეს დიმეთილფორმამიდის ხსნარში 0,5 გ/დლ კონცენტრაციასა და 25°C-ზე.

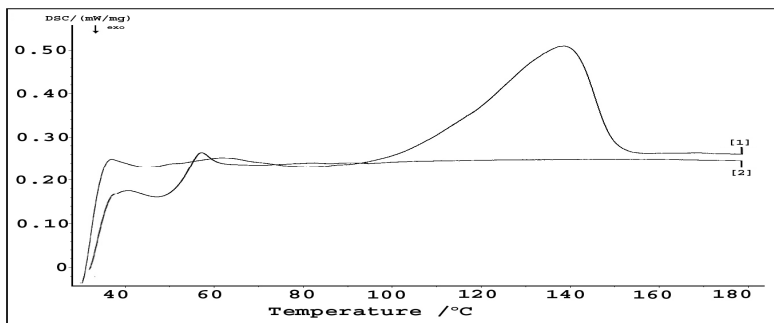
პოლიესტერამიდების თერმოგრამები მოყვანილია ნახ-ზე 8-11, ლდობის კუთრი ენთალპიების მნიშვნელობები (ჯ/გ) მოყვანილია ცხრ. 2-ში. მიღებული შედეგებიდან ჩანს, რომ ეთილაცეტატსა (ნახ.8, 1-ლი სკანირება) და აცეტონში (ნახ.9, 1-ლი სკანირება) გამოლექილი პოლიესტერამიდ 4F4-ის თერმოგრამები მკვეთრად განსხვავდება ერთმანეთისაგან. ეთილაცეტატში გამოლექილი პოლიმერის 4F4<sub>II</sub>-ის კრისტალური ფაზა ლდვება 98.1°C-ზე ლდობის ენთალპიით 26.6 ჯ/გ, ხოლო აცეტონში გამოლექილი პოლიმერის 4F4<sub>III</sub>-ის კრისტალური ფაზა 138.5°C-ზე ლდობის ენტალპიით 41.6 ჯ/გ. ამგვარად, აცეტონში

გამოლექილი პოლიმერის ლდობის ტემპერატურა  $40^{\circ}\text{C}$ -ით, ხოლო ლდობის ენთალპია  $1,6\text{-ჯერ}$  მეტია, ვიდრე ეთილაცეტატში გამოლექილის. განმეორებით გაცხელებისას ორივე შემთხვევაში მივიღეთ იდენტური მრუდები (ნახ.8 და 9), რომლებიც შეესაბამება ამორფულ პოლიმერს.



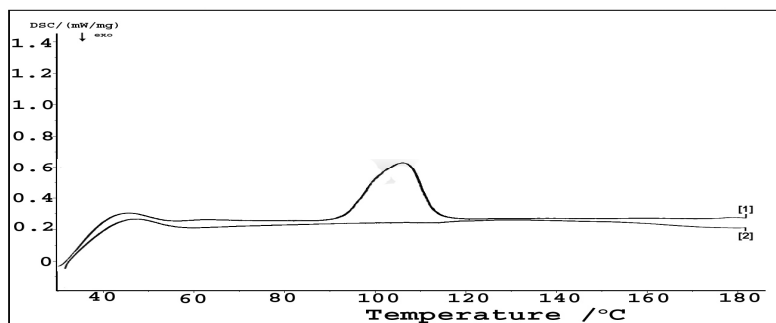
**nax.8.**

პოლიესტერამიდ **4F4 q/e** - ის თერმოგრამები:  
1-პირველი გაცხელება. 2 - მეორე გაცხელება, გაცივების შემდეგ.



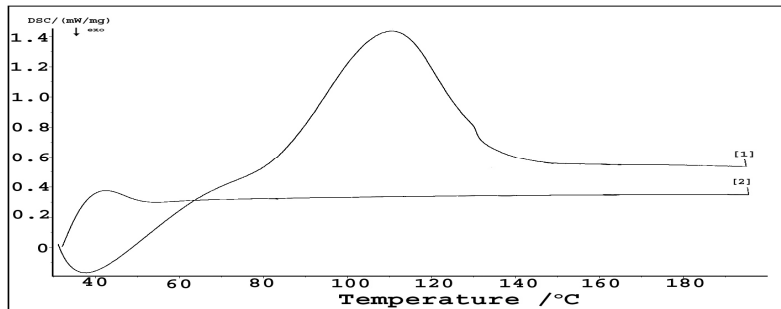
**nax.9.**

პოლიესტერამიდ **4F4 q/a** - ის თერმოგრამები:  
1-პირველი გაცხელება. 2-მეორე გაცხელება, გაცივების შემდეგ.



**nax.10..**

პოლიესტერამიდ **8F6 q/e** - ის თერმოგრამები: 1-პირველი გაცხელება. 2-მეორეგაცხელება, გაცივების შემდეგ



**ნახ.11.**

პოლიესტერამიდ **8F6<sub>q/a</sub>**-ის თერმოგრამები: 1-პირველი გაცხელება, 2-მეორეგაცხელება, გაცივების შემდეგ.

ცხრილი 2. პოლიესტერამიდების თერმული მახასიათებლები

<b>polimeri</b>	ლდობის ტემპერატურა, $T_m, ^\circ C$	ლდობის ენთალპია $\Delta H_m, \text{ кДж/გ}$
<b>4F4<sub>q/e</sub></b>	98.1	26.6
<b>4F4<sub>q/a</sub></b>	138.5	41.6
<b>8F6<sub>q/e</sub></b>	104.3	27.5
<b>8F6<sub>q/a</sub></b>	110.7	37.8

მსგავსი შედეგები მივიღეთ პოლიესტერამიდ **8F6**-ისთვისაც. ეთილაცეტატში გამოლექილი პოლიმერის **8F6<sub>q/q</sub>**-ის კრისტალური ფაზა ლდვება  $104.3^\circ C$ -ზე (ნახ. 10, პირველი სკანირება) ლდობის ენთალპიით  $27.5 \text{ кДж/გ}$ , ხოლო აცეტონში გამოლექილი პოლიმერის **8F6<sub>q/s</sub>**-ის კრისტალური ფაზა  $110.7^\circ C$ -ზე (ნახ.11, პირველი სკანირება) ლდობის ენტალპიით  $37.8 \text{ кДж/გ}$ . **8F6**-ის შემთხვევაში განსხვავებები არ არის ისეთი მკვეთრი, როგორც **4F4**-ისთვის. აცეტონში გამოლექილი პოლიმერის ლდობის ტემპერატურა მეტია ეთილაცეტატში გამოლექილზე მხოლოდ  $\sim 6^\circ C$ -ით, ხოლო ენთალპია მეტია  $1,37$ -ჯერ. განმეორებით გაცხელებისას ორივე შემთხვევაში მივიღეთ იდენტური მრუდები (ნახ.10 და 11), რომლებიც შეესაბამება ამორფულ პოლიმერს.

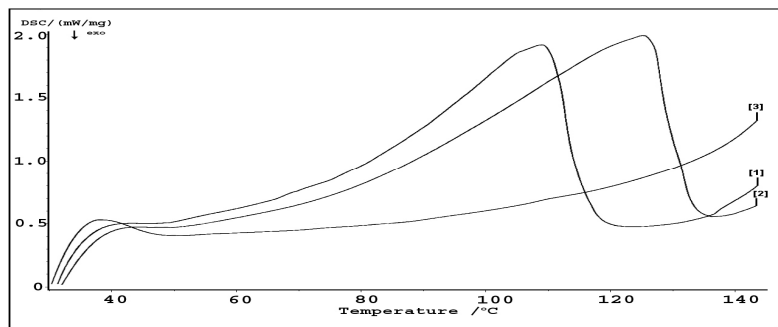
## **2.2. pol iesteramidebis xsnarəbis Termul i Tvisəbebis dadgena**

ზემოაღწერილი მეთოდით სინთეზირებულ პოლიმერებს ჩვენს მიერ დაგეგმილი კვლევებისათვის ვამუშავებდით შემდეგნაირად: მიღებული 4F4-ის ორი ნიმუში (0.5გ თითოეული) გაგხსენით 50-50 მლ ქლოროფორმში მაგნიტურ სარეველაზე მორევით ოთახის ტემპერატურაზე, ხსნარები გავფილტრეთ და პოლიმერი გამოვლექეთ - ერთი 100მლ ეთილაცეტატში (აღნიშნულია: 4F4<sub>II</sub>), მეორე - 100მლ აცეტონში (აღნიშნულია: 4F4<sub>III</sub>). ანალოგიურად დაგამუშავეთ მეორე პოლიესტერამიდი 8F6, რომელიც შესაბამისად აღნიშნულია როგორც 8F6<sub>II</sub> (გამოლექილი აცეტონში) და 8F6<sub>III</sub> (გამოლექილი ეთილაცეტატში). გამოლექილ პოლიმერებს ვფილტრავდით, ვაშრობდით ვაკუუმში 40°C-ზე. საკვლევი ხსნარების მოსამზადებლად გამოლექილ ნიმუშებს 4F4<sub>II</sub>, 4F4<sub>III</sub>, 8F6<sub>II</sub> და 8F6<sub>III</sub> ვხსნიდით ახლად გადადენილ დიმეთილფორმამიდში (15 მგ-ს 1 მლ-ში) მაგნიტურ სარეველაზე მორევით ოთახის ტემპერატურაზე. გაზომვებს ვატარებდით გახსნიდან 24 საათის შემდეგ.

ხსნარების თერმოგრამებს ვიღებდით დიფერენციალური მასკანირებელი კალორიმეტრზე “NETZSCH DSC 200 PC PHOX”. დიმეთილფორმამიდში გახსნილი პოლიმერების თერმული თვისებების შესასწავლად 0,030 მკლ ხსნარს ვათავსებდით სტანდარტულ ალუმინის კაფსულაში და ზემოთ აღწერილ პირობებში ვიწერდით თერმოგრამას (ხსნარების შემთხვევაში ვატარებდით მხოლოდ ერთ სკანირებას).

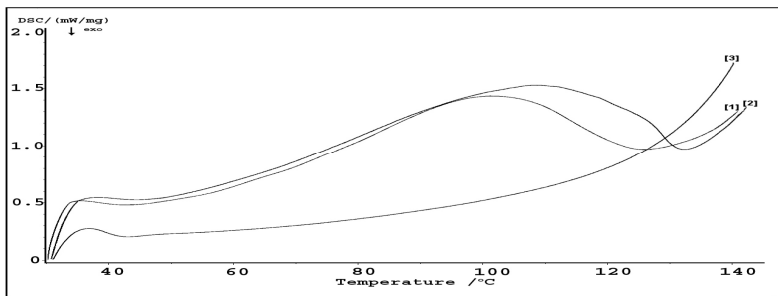
პოლიესტერამიდების თერმოგრამები დიმეთილფორმამიდის ხსნარებში მოყვანილია ნახ-ზე 12 და 13; ლდობის კუთრი ენთალპიების მნიშვნელობები (ჯ/გ) მოყვანილია ცხრ. 3-ში.

აცეტონში გამოლექილი პოლიმერები ხასიათდება უფრო მაღალი ლდობის ტემპერატურითა და ენთალპიით, ვიდრე ეთილაცეტატში გამოლექილი, რაც შეიძლება მეტყველებდეს მათი სტრუქტურული ორგანიზაციის უფრო მაღალ ხარისხზე.



max. 12.

პოლიესტერამიდ **4F4** - ის თერმოგრამები დიმეთილფორმამიდის ხსნარში:  
1 - **4F4<sub>q/e</sub>**. 2- **4F4<sub>q/a</sub>**. 3 - სუფთა დიმეთილფორმამიდი.



max. 13.

პოლიესტერამიდ **8F6** - ის თერმოგრამები დიმეთილფორმამიდის ხსნარში: 1 - **8F6<sub>q/e</sub>**. 2 - **8F6<sub>q/a</sub>**. 3 - სუფთა დიმეთილფორმამიდი.

**ცხრილი 3.** სხვადასხვა წინაისტორიის მქონე პოლიესტერამიდების 4F4 და 8F6 მახასიათებლები

polimeri	დღობის ტემპერატურა, $T_m, ^\circ C$	დღობის ენთალპია $\Delta H_m, J/g$
<b>4F4<sub>q/e</sub>-DMFA</b> ხსნარში	108.2	265.1
<b>4F4<sub>q/a</sub>-DMFA</b> ხსნარში	124.8	319.1
<b>8F6<sub>q/e</sub>-DMFA</b> ხსნარში	103.2	137.8
<b>8F6<sub>q/a</sub>-DMFA</b> ხსნარში	110.8	185.8

ამგვარად, მიღებული შედეგები აშკარად მიუთითებს იმაზე, რომ ამინომჟავური პოლიესტერამიდური კლასის პოლიმერებიც, ისევე როგორც ბუნებრივი წარმოშობის პოლიპეტიდები, ცილები და ადრე შესწავლილი ლიზინის პოლიშარდოვანები მიღრეკილნი არიან გარკვეული სტრუქტურული ორგანიზაციისადმი, როგორც მყარ მდგომარეობაში, ასევე ხსნარებში.

### **3. aminoJava L-1 eicinis Semcvel i ol i goesteramidebis kal orimetru i kvl eva**

სამედიცინო ბიოინჟინერია თანამედროვე ბიოტექნოლოგიის ერთ-ერთი მნიშვნელოვანი სეგმენტია. უმნიშვნელოვანების და პერსპექტივაში მრავლისმომცემი პრობლემაა დეროვანი უჯრედების კლონირება და ინტრაცერებრალური ტრანსპლანტაცია იშემიური ინსულტების სამკურნალოდ. იმისათვის, რათა ტვინის ქსოვილში იმპლანტირებული დეროვანი უჯრედები დიფერენცირდნენ ნეირონებად და აღადგინონ დაქვეითებული მოტორული და სხვა ფუნქციები, საჭიროა მათი 3D მხარდაჭერა შესაბამისი მატრიქსების ან სკაფოლდების (უმეტესწილად სინთეზური, ბიოდაშლადი პოლიმერების) გამოყენებით. დღემდე ამ მიზნებისათვის გამოყენებული პოლი(ლაქტიდ-გლიკოლიდური) პოლიმერები აღმოჩნდა ნაკლებად ეფექტური. ვგეგმავთ ჩვენს მიერ მიღებული ბიოდეგრადირებადი პოლიმერების (AABBP) საფუძველზე შევქმნათ ამ მიზნისათვის საჭირო სკაფოლდი (მიკროსფეროები, რომლებზეც მოხდება უჯრედების იმობილიზაცია) ან მატრიქსი (რომელიც შეკრავს უჯრედებს). მნიშვნელოვანია, რომ ორივე მიღგომის შემთხვევაში გვქონდეს თხევადდენადი პრეპარატი, რათა მოვახდინოთ მისი შევანა საიტში შპრიცის მეშვეობით. “სკაფოლდური მიღგომის” შემთხვევაში ეს მიიღწევა მიკროსფეროების წყლიანი სუსპენზიის მომზადებით, ხოლო “მატრიქსული მიღგომის” შემთხვევაში საჭიროა შეიქმნას დენადი პოლიმერული შემკვრელი (მატრიქსი).

თხევადი, დენადი მატრიქსების შექმნის მიზნით დავასინთეზეთ ბიოდეგრადირებადი ოლიგოესტერამიდები ადიპინის მჟავას, L-ლეიცინისა და 1,6-ჰექსანდიოლის საფუძველზე, რომლის ელემენტური რგოლის ფორმულები მოცემულია ცხრილ 4-ში. არჩევანი აღნიშნულ სტრუქტურაზე შევაჩერეთ იმის გამო, რომ შესაბამისი მაღალმოლეკულური ( $M_w = 24000$ ) პოლიესტერამიდი 4L6 (სქემა 3)

სქემა 3. პოლიესტერამიდი 4L6

-[CO-(CH<sub>2</sub>)<sub>4</sub>-CO-HN-CH(C<sub>4</sub>H<sub>9</sub>)-CO-O-(CH<sub>2</sub>)<sub>6</sub>-O-CO-CH(C<sub>4</sub>H<sub>9</sub>)-NH]<sub>x</sub>-

ხასიათდება შედარებით დაბალი გამინების ტემპერატურით ( $38^{\circ}\text{C}$ ) და არ კრისტალდება. ეს უნდა ყოფილიყო გარანტია იმისა, რომ ასეთივე სტრუქტურის ოლიგოესტერამიდები მოლექულური მასებით 3000 Da-მდე,  $20\text{--}40^{\circ}\text{C}$  ტემპერატურულ ინტერვალში იქნებოდნენ ამორფული, ბლანტდენადი სითხეები.

ოლიგოესტერამიდების სინთეზში ვიყენებდით ადიპოილქლორიდს (A). ბის-(L-ლეიცინ)-1,6-ჰექსილენდიესტერის დი-კ-ტოლუოლსულფონატს (L) ვასინთეზებდით ადრე აღწერილი მეთოდიკის შესაბამისად. მიზნობრივი ოლიგოესტერამიდების სინთეზს ვახდენდით A-ის პოლიკონდენსაციით L-თან ორფაზიანი სისტემის დიქლორმეთან/წყლის გაყოფის ზედაპირზე, მორეაგირე მონომერების L/A სხვადასხვა თანაფარდობისას (იხ. ცხრილი 4, L>A). ორფაზიან სისტემას ვაცალკევებდით გამყოფ ძაბრში, დიქლორმეთანის ფაზას ვაორთქლებდით და ვიღებდით ოლიგოესტერამიდს. ოლიგომერებს ვინახავდით ოთახის ტემპერატურაზე, ატმოსფერულ პირობებში.

ცხრილი 4. ოლიგომერების აღნაგობა და მოლექულური მასები

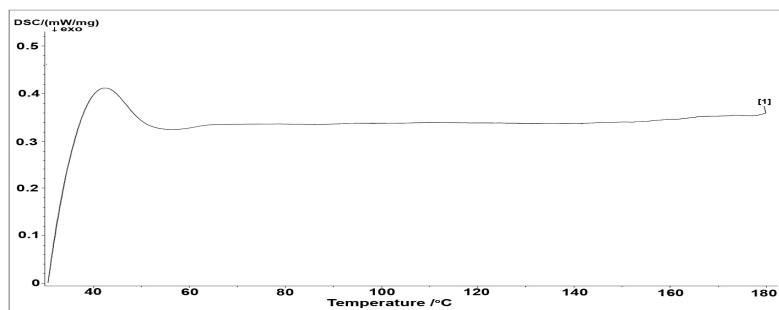
#	L/A $x =$	ol igomeris Teoriul i struqtura	MW*
1	2:1 $x = 1$	$\text{H}_2\text{NCH}(\text{C}_4\text{H}_9)\text{CO-O(CH}_2)_6\text{O-COCH}(\text{C}_4\text{H}_9)\text{NH-}$ [ $\text{CO}(\text{CH}_2)_4\text{CO-HNCH}(\text{C}_4\text{H}_9)\text{CO-O(CH}_2)_6\text{O-}$ $\text{COCH}(\text{C}_4\text{H}_9)\text{NH}]_1\text{-H}$ $\text{C}_{42}\text{H}_{78}\text{N}_4\text{O}_{10}$	798
2	3:2 $x = 2$	$\text{H}_2\text{NCH}(\text{C}_4\text{H}_9)\text{CO-O(CH}_2)_6\text{O-COCH}(\text{C}_4\text{H}_9)\text{NH-}$ [ $\text{CO}(\text{CH}_2)_4\text{CO-HNCH}(\text{C}_4\text{H}_9)\text{CO-O(CH}_2)_6\text{O-}$ $\text{COCH}(\text{C}_4\text{H}_9)\text{NH}]_2\text{-H}$ $\text{C}_{66}\text{H}_{120}\text{N}_6\text{O}_{16}$	1092
3	4:3 $x = 3$	$\text{H}_2\text{NCH}(\text{C}_4\text{H}_9)\text{CO-O(CH}_2)_6\text{O-COCH}(\text{C}_4\text{H}_9)\text{NH-}$ [ $\text{CO}(\text{CH}_2)_4\text{CO-HNCH}(\text{C}_4\text{H}_9)\text{CO-O(CH}_2)_6\text{O-}$ $\text{COCH}(\text{C}_4\text{H}_9)\text{NH}]_3\text{-H}$ $\text{C}_{90}\text{H}_{162}\text{N}_8\text{O}_{22}$	1706
4	5:4 $x = 4$	$\text{H}_2\text{NCH}(\text{C}_4\text{H}_9)\text{CO-O(CH}_2)_6\text{O-COCH}(\text{C}_4\text{H}_9)\text{NH-}$ [ $\text{CO}(\text{CH}_2)_4\text{CO-HNCH}(\text{C}_4\text{H}_9)\text{CO-O(CH}_2)_6\text{O-}$ $\text{COCH}(\text{C}_4\text{H}_9)\text{NH}]_4\text{-H}$ $\text{C}_{114}\text{H}_{204}\text{N}_{10}\text{O}_{28}$	2160
5	6:5 $x = 5$	$\text{H}_2\text{NCH}(\text{C}_4\text{H}_9)\text{CO-O(CH}_2)_6\text{O-COCH}(\text{C}_4\text{H}_9)\text{NH-}$ [ $\text{CO}(\text{CH}_2)_4\text{CO-HNCH}(\text{C}_4\text{H}_9)\text{CO-O(CH}_2)_6\text{O-}$ $\text{COCH}(\text{C}_4\text{H}_9)\text{NH}]_5\text{-H}$ $\text{C}_{138}\text{H}_{246}\text{N}_{12}\text{O}_{34}$	2614

მიზნობრივი ოლიგოესტერამიდები დავასინთეზეთ მორეაგირე მონომერების L/A სხვადასხვა თანაფარდობისას (იხ. ცხრილი 4), რათა მოგვეხდინა მათი მოლეკულური წონების ვარირება. ოლიგომერების გამოთვლილი (თეორიული) მოლეკულური მასები ასევე მოყვანილია ცხრილ 4-ში. როგორც მოსალოდნელი იყო, მიღებული ოლიგოესტერამიდები თავდაპირველად წარმოადგენდნენ სასურველი კონსისტენციის თხევად, ბლანტდენად, კალორიმეტრული გაზომვების თანახმად, ამორფულ სითხეებს. მაგრამ, ოთახის ტემპერატურაზე ატმოსფერულ პირობებში შენახვისას, მიღებულმა ოლიგომერებმა 3 თვის შემდეგ დაკარგეს დენადობა (გარდა ერთი, №1 ნიმუშისა, იხ. ცხრილი) და გადავიდნენ მყარ, დასახული მიზნებისათვის ნაკლებად სასურველ, ცვილისმაგვარ მდგომარეობაში.

ოლიგოესტერამიდების თერმული თვისებები განვსაზღვრეთ დიფერენციალური მასკანირებელი კალორიმეტრის “NETZSCH DSC 200 PC PHOX” გამოყენებით. ტემპერატორული ინტერვალი (20-180°C) შერჩეულია ნიმუშის თვისებებიდან გამომდინარე, გაცხელების სიჩქარე 10°C/წთ. პირველი თერმოგრამის გადაღების შემდეგ (პირველი სკანირება), ნიმუშს სწრაფად (შებერვით) ვაცივებდით 20°C-მდე უშუალოდ კალორიმეტრში და იგივე პირობებში ვიღებდით მეორე თერმოგრამას (მეორე სკანირება).

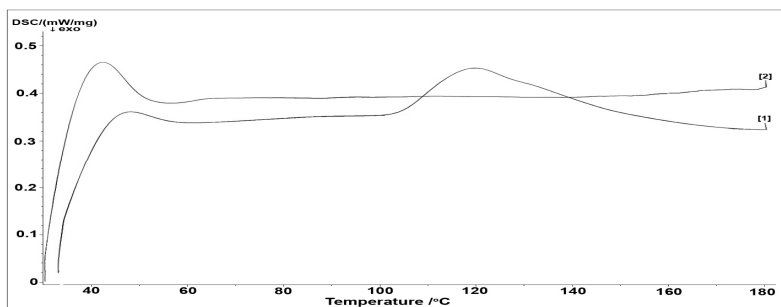
ადნიშნული ცვლილების ერთ-ერთი მიზეზი შესაძლოა ყოფილიყო ოლიგოესტერამიდების კრისტალიზაცია. ეს მოსაზრება დადასტურდა კალორიმეტრული გაზომვებით: №1 ოლიგოესტერამიდის ნიმუშის (რომელმაც შეინარჩუნა ბლანტდენადი თვისებები) თერმოგრამა (ნახ. 14) შეესაბამება ამორფულ მდგომარეობას, მაშინ, როდესაც ყველა გამყარებული ოლიგომერის პირველი სკანირების თერმოგრამაში შეიმჩნეოდა კრისტალური ფაზის ლდობისათვის დამახასიათებელი ენდოთერმული პიკები, ზოგ შემთხვევაში საკმაოდ რთული, რამდენიმე ლდობის პიკიც კი (ნახ. 15-18). კრისტალური ოლიგომერების მეორე სკანირების თერმოგრამები შეესაბამებოდა ამორფულ მდგომარეობას. სხვა სიტყვებით, ლდობის შემდეგ არ ხდებოდა ოლიგოესტერამიდების რეკრისტალიზაცია, რაც დამახასიათებელია აგრეთვე ნახევრადკრისტალური, მაღალმოლეკულური AABBP

პოლიესტერამიდებისათვის, მაგალითად, ამინომჟავა L-ფენილალანინის საფუძველზე. შევნიშნავთ, რომ მაღალმოლექულური ( $M_w=24000$ ) პოლიესტერამიდი 4L6, უშუალოდ სინთეზის შემდეგ არის ამორფული და, შესაბამისი სტრუქტურის ოლიგოესტერამიდებისგან განსხვავებით, არ განიცდის კრისტალიზაციას ოთახის ტემპერატურაზე შენახვისას (1 წელი და მეტი). სავარაუდოდ, მაღალმოლექულური 4L6-ის კრისტალიზაციას აფერხებს მისი, ოთახის ტემპერატურასთან შედარებით მაღალი, გამინების ტემპერატურა ( $38^{\circ}\text{C}$ ), რაც ხელს უშლის კრისტალიზაციისთვის ხელშემწყობ მაკრომოლექულების რეორგანიზაციას.



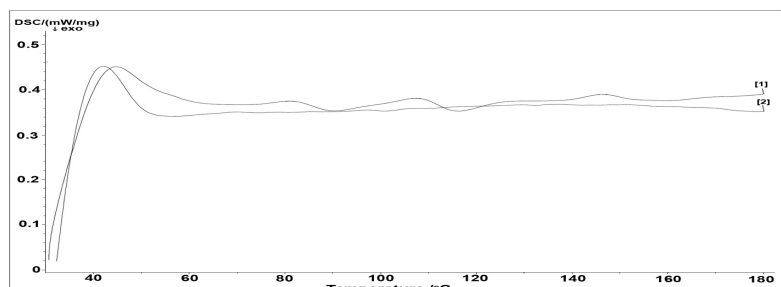
**nax.14.**

ოლიგომერ №1-ის (იხ. ცხრილი) თერმოგრამა, პირველი სკანი.



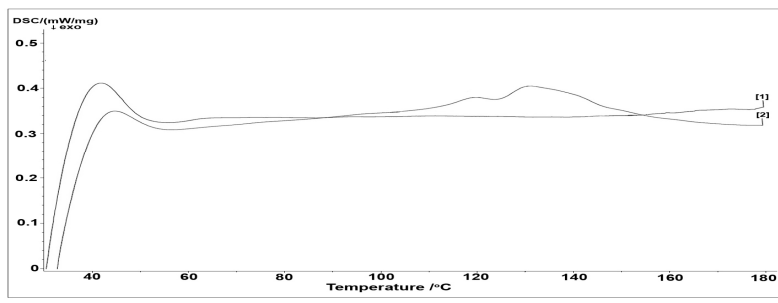
**nax.15.**

ოლიგომერ №2-ის (იხ. ცხრილი) თერმოგრამა: 1- პირველი სკანი.  
2- მეორე სკანი.



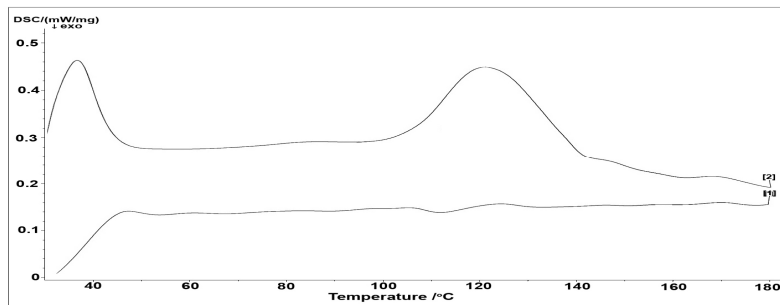
**nax. 16.**

ოლიგომერ №3-ის (იხ. ცხრილი) თერმოგრამა: 1- პირველი სკანი.  
2- მეორე სკანი.



**нax.17.**

ოლიგომერ №4-ის (იხ. ცხრილი) თერმოგრამა: 1- პირველი სკანი.  
2- მეორე სკანი.



**нax. 18.**

ოლიგომერ №5-ის (იხ. ცხრილი) თერმოგრამა: [1] - პირველი სკანი,  
[2] – მეორე სკანი.

ამგვარად, კალორიმეტრულმა კვლევამ გამოავლინა ამინომჟავა ლეიცინის საფუძველზე მიღებული ოლიგოესტერამიდების მიდრეკილება კრისტალიზაციისადმი თთახის ტემპერატურაზე, რაც არასასურველი პროცესია უჯრედული ინჟინერიისათვის სასურველი კონსისტენციის მქონე მატრიქსებისათვის, ვინაიდან მათი შესაძლო გამყარება გამორიცხავს დეროვანი უჯრედების ინტრაცერებრალურ ტრანსპლანტაციას შპრიცის მეშვეობით. ამავე დროს, კალორიმეტრული კვლევის შედეგები შესაძლებლობას გვაძლევს დაგეგმოთ შემდგომი სინთეზები ისე, რომ დავარღვიოთ ოლიგოესტერამიდების სიმეტრია და, შესაბამისად, შევამციროთ მათი სწრაფვა კრისტალიზაციისადმი, შევინარჩუნოთ ბიოდეგრადირებადი ოლიგომერების სასურველი კონსისტენცია შენახვისას თთახის ან უფრო დაბალ ტემპერატურაზეც.

#### **4. pol i(amid ester amid)ebis heterocikluri monomerebis safužvel ze Termul i kvl eva**

მიკრო და ნანო-კონტეინერების (გადამტანების) გამოყენება მნიშვნელოვნად ზრდის წამლების ეფექტურობას და შესაძლებელს ხდის მათ დამიზნულ ტრანსპორტს ორგანიზმში. აღნიშნული კონტეინერების გამოყენება ეფექტურია ასევე პიდროფობური (წყალში ჟესნადი) წამლების ორგანიზმიდა ტრანსპორტირებისათვის.

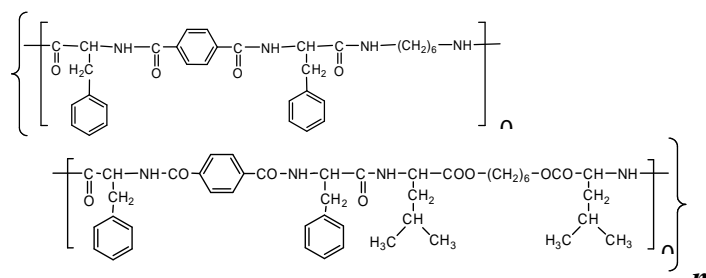
მნიშვნელოვანია, რომ კონტეინერები, დაკისრებული ფუნქციის შესრულების შემდეგ, არ აკუმულირდეს ორგანიზმში და არ გამოიწვიოს გართულებები, ანუ დაიშალოს და სრულად გამოიდევნოს ორგანიზმიდან. შესამაბისად, აღნიშნული კონტეინერების კონსტრუირებისათვის პერსპექტულია ბიოდეგრადირებადი პოლიმერების გამოყენება. ამასთან სასურველია, რომ პოლიმერებს ჰქონდეთ ვარირებადი პიდროფობურ/პიდროფილური ბალანსი, დაშლის (ბიოდეგრადაციის) სიჩქარე, მექანიკური თვისებები და სხვ.

აღნიშნული კონტეინერებისათვის შესაფერისი ბიოდეგრადირებადი პოლიმერების მისაღებად ჩვენ პერსპექტიულია მივიჩნიეთ ე.წ. ოქსაზოლონური ანუ აზლაქტონური მეთოდი შემდეგ მოსაზრებათა გამო: მეთოდის საკვანძო მონომერები – პ-ფენილენ-ბის-ოქსაზოლინები (“ბის-აზლაქტონები”) წარმოადგენენ მაღალაქტიურ ბის-ელექტროფილურ მონომერებს α-ამინომჟავების საფუძველზე (მიიღება შესაბამისი N,N'-ტერეფთალოიდ-ბის-ა-ამინომჟავების ციკლიზაციით), რომლებიც მაღალი სიჩქარით ურთიერთქმედებენ ალიფატურ დიამინებთან რბილ პირობებში და წარმოქმნიან მაღალმოლექულურ პოლიამიდებს. მაღალპიდროფობური ფრაგმანტების (მაგალითად, ტერეფთალის მჟავას ნაშთის) შეყვანა მაკრომოლექულაში მნიშვნელოვანია მიკრო და ნანო-კონტეინერების მისაღებად ე.წ. გამოლექვის მეთოდით (იგულისხმება პოლიმერის გამოლექვა ორგანული გამხსნელიდან წყალში) რათა ნაწილაკები არ შეწებდეს და ჩამოყალიბდეს სასურველი ფორმითა და ზომით.

კვლევაში გამოვიყენეთ ორი ბის-ელექტროფილური მონომერი - ბის-აზლაქტონები: 2,2'-პ-ფენილენ-ბის-(4-ბენზილ-ოქსაზოლინ-5-ონი), **Az<sup>Phe</sup>** და ბის-ნუკლეოფილური სამი მონომერი - ბის-(L-ლეიცინ)-1,6-ჰექსამეთოლენ დიესტერის დი-პ-ტოლუოლსულფონატი, **L6**, და ალიფატური დიამინები (თავისუფალი ფუძეების სახით) - ჰექსამეთოლენდიამინი, **HDA**.

ჰომოპოლიმერები აღნიშნულია ზემოთ მოცემული აბრევიატურების კომბინაციით. მაგალითად, **Az<sup>Phe</sup>-L6** - აღნიშნავს ჰომოპოლიესტერამიდს **Az<sup>Phe</sup>-L6**-ს და **L6**-ის საფუძველზე.

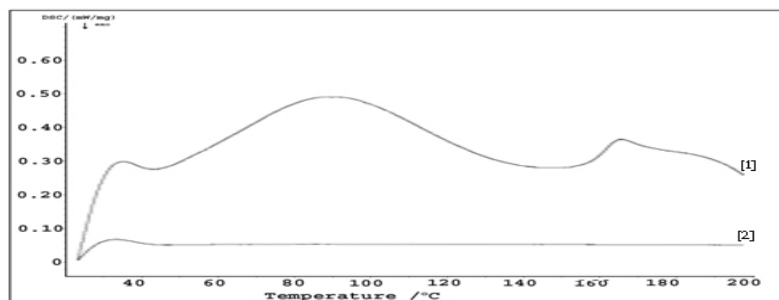
თანაპოლიმერებში შესაბამისი ფრაგმენტების მოლური წილები მოცემულია ქვედა ინდექსების სახით. მაგალითად, **Az<sup>Phe</sup>-[HDA/L6]<sub>90/10</sub>** შეესაბამება ქვემოთ მოცემულ თანაპოლი(ამიდ/ესტერამიდ)ს, რომელშიც პირველი ბლოკი არის პოლიამიდური, ხოლო მეორე კი - პოლიესტერამიდური:



დავასინთეზეთ ჰომოპოლიმერი: ჰომო-პოლიამიდი **Az<sup>Phe</sup>-HDA** და ჰომოპოლიესტერამიდი **Az<sup>Phe</sup>-L6**.

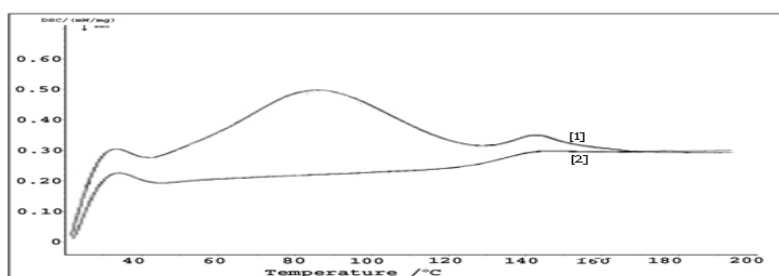
თერმული თვისებები განვსაზღვრეთ ფირმა NETZSCH-ს “DSC 200 PC PHOX”-ის დიფერენციალური მასკანირებელი კალორიმეტრის გამოყენებით ტემპერატურულ ინტერვალში 30 – 200°C. ნახ.19-25-ზე მოცემულია პოლიმერების თერმოგრამები ერთსა და იმავე პირობებში. პირველი სკანის ყველა შემთხვევაში (განურჩევლად იმისა, ჰომოპოლიმერია თუ თანაპოლიმერი) 55-120°C-ის უბანში შეინიშნება ენდოთერმული პიკები მაქსიმუმებით 86-96°C-ზე. პიკის ფართო ფორმა, მისი გაქრობა მეორე სკანის თერმოგრამაზე და ლლობის საკმაოდ დაბალი ტემპერატურა გვაძლევს უფლებას დავასკნათ, რომ ისინი განეკუთვნება დომენებს (სავარაუდოდ ჰიდროფობურ) და არა

კრისტალურ ფაზას. ამ მოსაზრებას ამტკიცებს ისიც, რომ ჩვენს მიერ ადრე აზლაქტონისა და 1,6-ჰექსამეთილუნდიამინის საფუძველზე მიღებული ყველა პოლიმერი (მათ შორის  $\text{Az}^{\text{Phe}}\text{-HDA}$ ), რენტგენოსტრუქტურული ანალიზის თანახმად, ამორფული პოლიმერებია. ამასთან სავარაუდოა, რომ ეს დომენები წარმოქმნილია ტერეფთალის ნაშთის შემცველი ფრაგმენტების მიერ, განურჩევლად იმისა, შეიცავს პოლიმერი **HDA**-ს ნაშთს თუ არა.  $\text{Az}^{\text{Phe}}\text{-L6}$ -ში პიდროფობური დომენის “ტერეფთალური ბუნების” სასარგებლოდ მეტყველებს, ერთი მხრივ ის, რომ მსგავსი ლლობის (ენდოთერმული) პიკი არ შეიმჩნევა სებაცინის მჟავისა და **L6**-ის საფუძველზე მიღებულ ალიფატურ პომოპოლიმერ **8L6**-ის თერმაგრამაზე (ნახ. 25), მეორე მხრივ - ლლობის ენთალპიის ზრდა პოლიმერის სტრუქტურაში ტერეფთალის ნაშთის შემცველობის გაზრდით. ნახ. 26-ზე წარმოდგენილი მონაცემების საფუძველზე ვასკვნით, რომ დომენი მით უფრო მდგრადია, რაც მეტია პოლიმერში არომატული ტერეფთალის მჟავას ნაშთის შემცველობა. იგივეზე გარკვეულწილად მეტყველებს ლლობის პიკის მაქსიმუმის ზრდაც  $86.1^{\circ}\text{C}$ -დან ( $\text{Az}^{\text{Phe}}\text{-L6}$ )  $96.3^{\circ}\text{C}$ -მდე ( $\text{Az}^{\text{Phe}}\text{-HDA}$ ).



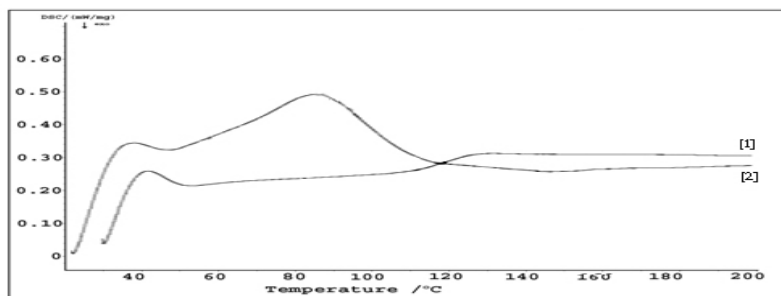
**nax.19.**

$\text{Az}^{\text{F}}\text{-HDA}$  თერმოგრამა: 1-გაცხელების მრუდი. 2-გაცხელების მრუდი, გაცივების შემდეგ



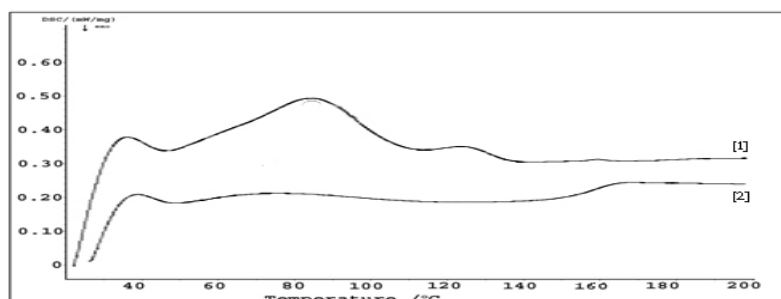
**nax.20.**

$\text{Az}^{\text{F}}\text{-[HDA / L6]}_{90/10}$  თერმოგრამა: 1- გაცხელების მრუდი. 2- გაცხელების მრუდი, გაცივების შემდეგ.



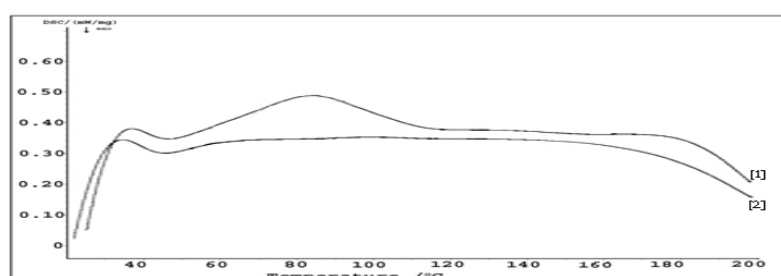
**nax.21.**

$\text{Az}^F - [\text{HDA} / \text{L6}]_{70/30}$  თერმოგრამა: 1- გაცხელების მრუდი. 2- გაცხელების მრუდი,გაცივების შემდეგ.



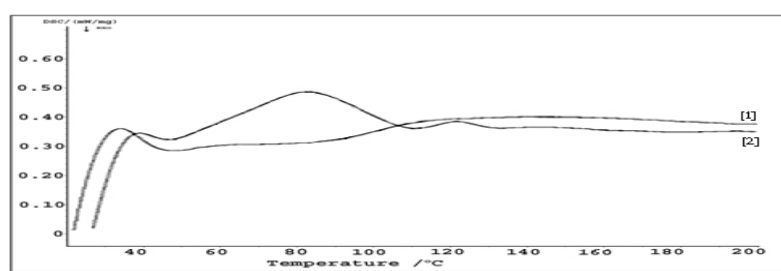
**nax.22.**

$\text{Az}^F - [\text{HDA} / \text{L6}]_{50/50}$  თერმოგრამა: 1- გაცხელების მრუდი. 2- გაცხელების მრუდი,გაცივების შემდეგ.



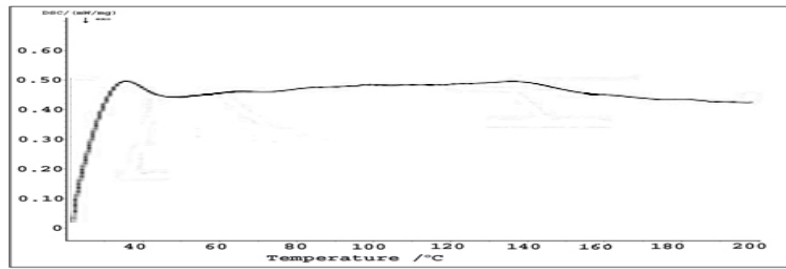
**nax.23.**

$\text{Az}^F - [\text{HDA} / \text{L6}]_{10/90}$  თერმოგრამა: 1- გაცხელების მრუდი. 2- გაცხელების მრუდი,გაცივების შემდეგ.



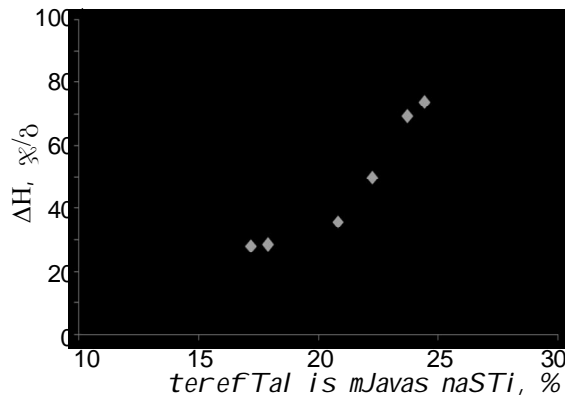
**nax.24.**

$\text{Az}^F - \text{L6}$  თერმოგრამა: 1- გაცხელების მრუდი. 2- გაცხელების მრუდი,გაცივების შემდეგ.



**nax.25.**

პოლიესტერამიდი **8L6** თერმოგრამა: 1- გაცხელების მრუდი. 2- გაცხელების მრუდი, გაცივების შემდეგ.



**nax. 26.**

პიდროვობური დომენის ლდობის ენთალპიის დამოკიდებულება პოლიმერში ტერმოფიზიკური მუდმივობის მუდმივობაზე.

ცხრილი 5.  $Az^{Phe}$ -ს საფუძველზე მიღებულ პომოპოლიმერებსა და თანაპოლო-მერების მახასიათებლები.

Nº	პოლიმერი	ლდობის ტემპ-რა, $T_m, ^\circ C$	ლდობის ენთალპია $\Delta H, J/g$	ლდობის ენტროპია $\Delta S, J/g^\circ C$
1	$Az^{Phe} - L6$	86.1	28.19	0.33
2	$Az^{Phe} - [HDA / L6]_{10/90}$	87.2	28.50	0.33
3	$Az^{Phe} - [HDA / L6]_{50/50}$	86.5	35.66	0.41
4	$Az^{Phe} - [HDA / L6]_{70/30}$	85.9	49.65	0.58
5	$Az^{Phe} - [HDA / L6]_{90/10}$	94.1	69.25	0.74
6	$Az^{Phe} - HDA$	96.3	73.60	0.76

ადსანიშნავია, რომ მდგრადი დომენების წარმოქმნა ხელშემწყობი ფაქტორია ხსნარიდან გამხსნელის აორთქლების ან გამოლექვის მეთოდით ნანო-ნაწილაკების მიღებისათვის. ეს მოსაზრება დადასტურდა წინასწარი ექსპერიმენტებით – სინთეზირებული თანაპოლიმერები ადგილად წარმოქმნიან მიკრო და ნანო-ნაწილაკებს, რაც, მოლოდინის შესაბამისად, პერსპექტიულს ხდის მათ გამოყენებას წამლის გადამტანი ბიოდეგრადირებადი კონტეინერების სახით.

### **daskvna:**

- 1.** შესწავლილია ბიოსამედიცინო დანიშნულების, პოლიესტერშარდოვანების ამინომჟავა L-ლეიცინის და სამი α,ω-დიოლის - 1,4-ბუტანდიოლის, 1,6-ჰექსანდიოლის და 1,12-დოდეკანდიოლის საფუძველზე მიღებული პოლიესტერშარდოვანების (1L4, 1L6 და 1L12); ასევე ამინომჟავა L-ფენილალანინისა და 1,6-ჰექსანდიოლის საფუძველზე მიღებული პოლისტერშარდოვანას (1F6) თბოფიზიკური და ფიზ-ქიმიური თვისებები. შესწავლილია მათი სტრუქტურული თვისებები, ტემპერატურული წრთობის განსხვავებულ რეჟიმებში.
- 2.** დადგენილია L-ფენილალანინის, ადიპინის მჟავას, 1,4-ბუტანდიოლის, სებაცინის მჟავას და 1,6-ჰექსანდიოლის საფუძველზე სინთეზირებული პოლიესტერამიდების, (4F4 და 8F6) თერმული თვისებები.
- 3.** შესწავლილია დამლექვის ბუნების გავლენა L-ფენილალანინის, ადიპინის მჟავას, 1,4-ბუტანდიოლის, სებაცინის მჟავას და 1,6-ჰექსანდიოლის საფუძველზე სინთეზირებული პოლიესტერამიდების, (4F4 და 8F6) თბოფიზიკურ თვისებებზე.
- 4.** შესწავლილია პოლიესტერამიდების (4F4 და 8F6) DMF – ას ხსნარების თერმული თავისებები. აღმოჩენილია, რომ პოლიესტერამიდები, ბუნებრივი პოლიმერების (ცილები, დნმ) მსგავსად ხსნარებში ინარჩუნებენ სტრუქტურას. დადგენილია პოლიმერული ხსნარების თერმული თვისებების დამოკიდებულება ნიმუშის წინაისტორიაზე (დამლექავის ბუნებაზე).
- 5.** ჩატარებულია მრავალჯერადი ექსპერიმენტი ამინომჟავა L-ლეიცინის შემცველი ოლიგოესტერამიდების კრისტალური თვისებების შესასწავლად. დადგენილია მათი სტრუქტურული ცვლილებების დამოკიდებულება ნიმუშების შენახვის პირობებსა და დროზე.
- 6.** ჩატარებულია ჰეტეროციკლური მონომერების საფუძველზე მიღებული პოლი(ამიდ ესტერამიდ)ების თერმული პლავა. დადგენილია მათი თერმოდინამიკური პარამეტრები. ასევე

აღმოჩენილია დამოკიდებულება ტერეფტალის მუნიციპალიტეტის და  
პოლიმერების ენგალპიას შორის.

.

**sadisertacio naSromis Ziri Tadi Sedegebi gamoqveynebul ia  
Semdeg SromebSi:**

- 1) დგებუაძე მ., გვერდწითელი მ., ოთიძე პ., ტუდუში დ., ქაცარავა რ., “ა-ამინომჟავა L-ლეიცინისა და α,ω-ალკილენდიოლების საფუძველზე მიღებული პოლიესტერშარდოვანების კალორიმეტრული კვლევა.” საქართველოს ქიმიური ჟურნალი, 2011, №3, pp 284-287.
- 2) დგებუაძე მ., ბედინაშვილი მ., ოთინაშვილი გ., ტუდუში დ., ქაცარავა რ., ”ამინომჟავა L-ლეიცინის შემცველი ოლიგოესტერამიდების კალორიმეტრული კვლევა.” საქართველოს ქიმიური ჟურნალი, 2011, №4, pp 377-380.
- 3) დგებუაძე მ., ბედინაშვილი მ., ოთიძე პ., ტუდუში დ., ქაცარავა რ., ”დამლექავის ბუნების გავლენა L-ფენილალანინის საფუძველზე მიღებული პოლიესტერამიდების ობოვიზიკურ თვისებებზე.” საქართველოს მეცნიერებათა ეროვნული აკადემიის მაცნე, ქიმიის სერია. 2012, 28, № 1, pp 49-56.

The synthesis and study of biodegradable polymers is at forefront of modern polymer chemistry because of the technological challenges and a high commercial potential. For many medical, agricultural and environmental purposes it is important to have biodegradable polymers which degrade under the action of physiological environment or in soil “without” traces.

Materials that can decompose and disappear “without” traces from the body are desirable for a variety of biomedical applications like surgical and pharmaceutical devices, wound closure/dressin materials, vascular grafts, nerve guidance tubes, absorbable bone plates, orthopedic pins and screws, body-wall/hernia repair, sustained/controlled drug delivery systems, to name a few. Different materials with tailored properties are required for each of these applications. Therefore, biodegradable polymers with a variety of hydrophilicity/hydrophobicity, permeability, morphology, degradation rates, chemical and mechanical properties are needed.

Among different studies carried out with the aim of creating biodegradable biomaterials one of the best approaches was developed by Prof. R. Katsarava and co-workers at the Research Center of Medical Polymers and Biomaterials of Georgian Technical University. Georgian researchers created a large variety of Amino Acid Based Biodegradable polymers. For wide deployment of these polymers a continuous and systematic research is needed to determine the reference of the polymer properties and chemical structure as well as a prehistory of preparation. The dependence property - structure is no doubt and commonly known as organic and polymer chemistry. In the organic chemistry the compound features a lot less depends (Among these dependence the most important is polymorphism) on The prehistory, but in polymer chemistry the prehistory of the sample can play a vital role in determining its properties, since depend on prehistory a different porosity can be established, high-molecular structure, quality of crystallinity and so on., which may have a decisive importance for the mechanical and physico - chemical features of polymers.

One of the powerful method of the study of Materials fundamental characteristics is the differential scanning calorimetry(DSC), which gives the material phase state, the main thermal characteristics (glass and melting temperature). This knowledge is needed in polymer processing for further exploitation. In the case of polymers medications load DSC research enables us to determine phase (crystalline or amorphous) of the drug.

DSC research of the polymers and materials synthesized in the center had irregular character. No systematic studies had been found in the literature about thermal properties of similar polymeric compounds. Therefore, study of the properties of these polymers, including prehistory attitude of samples, is the novelty of the dissertation thesis.

As the object of the study was chosen an  $\alpha$  - amino-acids based biodegradable saturated polymers synthesized in the center - poliesteramids and poliesterureas, as well as unsaturated and epoksi-groups containing poliesteramids, poly(amides esteramid)s obtained on the basis of the heterocyclic monomers.

Thermal properties of a representative of each of these polymer families mentioned above have been studied in details. The thermodynamic parameters revealed that it is necessary, as an extension of the fundamental knowledge of these polymers, as well as their materials in terms of wide implementation in practice.

For the implementation of the planned work temperature annealing processes had been studied for each polymer family, due to their structural properties.

Thermal properties of three biodegradable poly(ester urea)s composed of naturally occurring amino acid L-leucine and three  $\alpha,\omega$ -diols - 1,4-butanediol, 1,6-

hexanediol and 1,12-dodecandiol (designated as c 1L4, 1L6 and 1L12, accordingly) also amino acid L-phenylalanin and 1,6-hexanediol were studied using DSC. It was found that all four polymers are semicrystalline, and their thermal behavior depends on chemical structure of the diol used. Among the polymers studied only 1L6 showed recrystallization after melting, which suggests that it belongs to the "smart polymers" class. Whereas other three polymers - 1L4, 1L12 and 1F6 remained amorphous. In the light of the obtained data one can conclude that 1L6 is promising for both melt-spinning fibresand application as high-strength surgical materials (e.g. orthopedic implants, etc.). The amorphous ones - 1L4, 1L12 and 1F6 could be of interest as matrices for constructing drug sustained/controlled release devices

Thermal properties of two biodegradable poly(ester amide)s composed of naturally occurring amino acid L-phenylalanine and adipic acid and 1,4-butanediol and sebacic acid and 1,6-hexanediol and having various prehistory (Precipitated from chloroform solutions in either ethylacetate or acetone) were studied using DSC. It was found that the polymers thermal behavior in both solid state and dimethylformamide solutions depends on the precipitant used. Strengthen the results of the analysis conducted in these poly(ester amide)s X-ray analisis; the data confirm the results obtained by DSC method.

For purpose of medical bioengineering aims, for creation of fluid matrixes oligo(ester amid)s were synthesized composed of adipic acid, amino acid L-leucine and 1,6-hexanediol with average molecular weight in interval 800-2600 Da. It was found that most of oligomers transformed into unattended hard state at room temperature. Using DSC was concluded that mentioned process in oligomers depends on their crystallization. This is negative process for the cellular engineering in matrices of desired consistence, because they exclude the possibility of strengthening intratsebralur transplantation of stem cells through a syringe. At the same time, calorimetical results of this study enables us to plan for further synthesis to disrupt oligo(ester amid)s symmetry and, consequently, reduce their commitment to crystallisation, to maintain the desired consistence of biodegradable oligo(ester amid)s storage at room temperature or lower.

The DSC study of the Heterocyclic monomers based on the poly(amid esteramid)s obtained showed all of them are amorphous – the thermograms of the polymers (regardless either homopolymer or co-polymer was studied) contained wide endothermal peaks in the range 55-120 °C. Both form and low temperature range allow to assign these peaks rather to amorphous domains than to crystalline phase. Presumably the domains are formed by terephthalic acid's fragments since, on the one hand, this type of endothermal peaks are not observed in thermogram of homo-PEA composed of sebacic acid, L-Leucine and 1,6-hexanediol (8L6) on the other hand, the higher is therephthalic acid's content in the polymer, the higher is its melting enthalphy.

Thus, this is the first time we study the thermal properties of these polymers. This allows to determine the possible area of their using, as well as to plan for the future synthesis of polymers with desired properties, which are very important in terms of their implementation.